

بررسی آماری مقدار انرژی تولیدشده از مبدل پیزوالکتریک متصل به پل*

رضا فتحی^(۱)میرمحمد اتفاق^(۲)

چکیده یکی از روش‌های جدید برای تأمین انرژی سیستم‌های پایش سلامت پلها استفاده از انرژی مکانیکی است. در این روش با استفاده از مبدل پیزوالکتریک، انرژی ناشی از ارتعاشات پل به الکتریسته تبدیل می‌شود. مزیت این روش عدم نیاز به تعویض یا شارژ باتری سیستم پایش سلامت می‌باشد. در تحقیقات پیشین، مطالعاتی بر روی تولید انرژی از ارتعاشات پلها انجام شده است ولی تحقیقی در زمینه بررسی آماری مقدار انرژی تولیدشده با در نظر گرفتن نامعینی در نوع و خواص خودروهایی عبوری از روی پل انجام نشده است. بنابراین در این مقاله، مقادیر آماری ولتاژ تولیدشده بعد از مدل‌سازی مناسب پل-وسیله نقلیه و برداشت‌کننده انرژی در حضور تمامی نامعینی‌های موجود در وسیله نقلیه با استفاده از روش مونت‌کارلو، استخراج شده است.

واژه‌های کلیدی پیزوالکتریک؛ ارتعاشات پل - خودرو؛ آنالیز نامعینی؛ شبیه‌سازی مونت‌کارلو.

Statistical Analysis of Piezoelectric Energy Harvesting in the Bridge Systems

R. Fathi

M.M Etefagh

Abstract One of the new methods for electrical powering of the bridge health monitoring systems is applying energy harvesting systems using bridge vibration. In this method, the piezoelectric material is employed for converting mechanical energy into electrical energy. The advantage of this method is based on not implementing the battery charging system. In previous research, some studies have been done on the energy harvesting from vibration of bridges. However, research on statistical analysis of produced power with considering uncertain vehicle type and specifications has not been conducted. Therefore in this paper, after modelling the bridge-vehicle-piezoelectric system with complete vehicles uncertainties, the statistical analysis of produced voltage are carried out by Monte-Carlo simulation.

Key Words Piezoelectric; Vehicle-Bridge Vibration; Uncertainties Analysis; Monte-Carlo Simulation.

* تاریخ دریافت مقاله ۹۳/۹/۲ و تاریخ پذیرش آن ۹۴/۴/۲۹ می‌باشد. DOI: 10.22067/fum-mech.v28i1.41606

(۱) دانشجوی دکترای مهندسی مکانیک، دانشکده فنی مهندسی مکانیک، دانشگاه تبریز.

(۲) نویسنده مسئول: دانشیار گروه مهندسی مکانیک، دانشکده فنی مهندسی مکانیک، دانشگاه تبریز ettefagh@tabrizu.ac.ir

مقدمه

با توجه به اهمیت سازه‌هایی نظیر پل که وسایل نقلیه از روی آنها عبور می‌کنند پایش سلامتی آنها نه تنها از نظر جلوگیری از زیان‌های اقتصادی، بلکه برای حفظ جان انسان‌ها حائز اهمیت است. یکی از روش‌های کارآمد برای پایش سلامتی سازه‌هایی نظیر پلها استفاده از حسگرهای بی‌سیم است. همواره بحث تامین انرژی این حسگر بی‌سیم با مشکلاتی همراه بوده است. تامین انرژی به صورت مستقیم، با منبعی جداگانه مشکلاتی نظیر تعمیر و نگهداری سیستم‌ها را به همراه دارد. از طرفی دیگر استفاده از باتری‌ها هم با توجه به وزن زیاد، عمر محدودشان و هم‌چنین مشکل تعویض آنها در جاهای غیرقابل دسترس، مثل بدنه پلها، همیشه امکان‌پذیر نیست. در سال‌های اخیر پشرف‌های سریع در فن‌آوری‌های مدارهای کم‌مصرف الکترونیکی نظیر سنسورها و سیستم‌های بی‌سیم امکان استفاده از سیستم‌های مستقل را برای پایش سلامت سازه‌ها به وجود آورده است. سیستم‌های مستقل برای تامین انرژی خود نیازی به منبع مستقل انرژی ندارند و انرژی مورد نیاز خود را از منابع انرژی محیطی مانند انرژی خورشیدی، انرژی باد و گرادیان حرارتی [1-3] تامین می‌کنند. هر یک از این منابع انرژی ذکر شده نیز با مشکلاتی همراه است. به عنوان نمونه برای تامین انرژی با استفاده از انرژی خورشیدی باید نور آفتاب به مدت طولانی به سلول خورشیدی بتابد که این کار همیشه امکان‌پذیر نمی‌باشد. از این‌رو پژوهشگران تحقیقات اخیر را به سوی ارائه شیوه‌های جدید برای تامین انرژی این سنسورها سوق داده‌اند. از جمله یکی از این روش‌ها استفاده از انرژی ناشی از ارتعاشات پل می‌باشد. در میان مکانیزم‌های مختلفی که برای تبدیل انرژی ارتعاشات به الکتریسیته وجود دارد از قبیل الکترومغناطیس، پیزوالکتریک و الکترواستاتیک، مکانیزم پیزوالکتریک به دلیل راحتی استفاده از آن و دارا

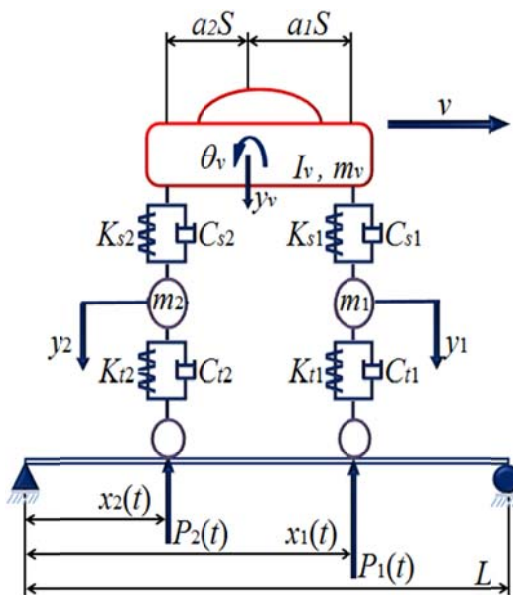
بودن خاصیت ذاتی کوپلینگ، بیشترین توجه را به خود اختصاص داده است.

یکی از تحقیقات اولیه در مورد امکان‌سنجی برداشت انرژی از ارتعاشات پل توسط ویلیامز و همکارانش [4] انجام پذیرفته است. آنها ابتدا ارتعاشات دو پل بتنی در هنگام عبور خودروها را اندازه گرفتند و آن را ورودی تحریک مدل گسسته یک درجه آزادی برداشت‌کننده انرژی در نظر گرفتند و مقدار توان خروجی آن را محاسبه کردند. ارتورک [5] سیستم پل-خودرو را به وسیله یک تیر با بار متمرکز متحرک مدل کرد و سپس با حل تحلیلی معادلات تیر، جابه‌جایی هر نقطه از آن را استخراج کرد. در ادامه مقدار ولتاژ تولیدشده را با توجه به جابه‌جایی تیر به وسیله مدل پیزو را در دو حالت بررسی نمود. در حالت اول مدل پیزو (تیر پوشیده شده از لایه پیزو) را در جاهای مختلف مدل پل قرار داد و مقدار انرژی تولیدشده را به دست آورد. در حالت دوم با پوشش قسمتی از پل با پیچ (patch) پیزو مقدار انرژی تولیدشده ناشی از نوسانات کرنش سطح پل را بررسی نمود. سانق [5] به بررسی تجربی امکان برداشت انرژی از ارتعاش پل و تبدیل آن به انرژی الکتریکی با استفاده از مواد پیزوالکتریک پرداخت. او با اعمال بار با دامنه و فرکانس‌های مختلف روی تیر، مدل عبوری خودرو با وزن و سرعت‌های مختلف را شبیه‌سازی نمود و مقدار ولتاژ خروجی را اندازه‌گیری کرد. علی و همکارانش [7] با در نظر گرفتن پل به صورت یک تیر و با اعمال نیروی متحرک متمرکز روی تیر به امکان برداشت انرژی از ارتعاشات تیر پرداختند. آنها هم‌چنین به تعیین مکان بهینه برای برداشت حداکثری انرژی از ارتعاشات پل پرداختند. ژانگ و همکارانش [8] ابتدا معادلات کوپل شده حرکت سیستم پل-خودرو را استخراج نمودند و سپس با در نظر گرفتن ارتعاشات پل به عنوان نیروی تحریک تیر پیزو، به بررسی مقدار انرژی تولیدشده در اثر عبور کامیون از روی پل به‌ازای

خودرو با خصوصیات و کلاس بندی اتفافی به کمک نرم افزار MATLAB و روش شبیه سازی مونت کارلو به دست آورده شده و مقدار توان تولید شده بر اثر این ارتعاشات محاسبه شده است.

تابع مدل سازی سیستم ارتعاشی پل - وسیله نقلیه

استخراج معادله حرکت خودرو. وسیله نقلیه ای که به صورت مدل نصف خودرو با چهار درجه آزادی که با سرعت ثابت v روی پل با تکیه گاه های ساده حرکت می کند، در شکل (۱) مدل شده است.



شکل ۱ سیستم پل - وسیله نقلیه

که جرم های فنربندی شده m_v ، جرم فنربندی نشده m_1 و m_2 ، گشتاور لختی I_v ، مقادیر سفتی K_s و K_t و میرایی C_s و C_t مربوط به سیستم تعلیق و تایرها، و مشخصات طولی خودرو a_1 ، a_2 و S در شکل نشان داده شده است.

دیاگرام آزاد مدل وسیله نقلیه شکل (۱)، به صورت شکل (۲) در نظر گرفته شده که در آن $a_1 S = l_B$ و $a_2 S = l_F$ می باشد.

سرعت های مختلف خودرو و چهار طول مختلف پل پرداختند. نتایج آنها نشان داد که توان خروجی مبدل برای پلها با طول دهانه کوچکتر افزایش می یابد و هم چنین وسط پل بهترین مکان برای نصب مبدل برداشت انرژی است. کاهیل و همکاران [9] امکان برداشت انرژی از پل بر اثر عبور قطار را بررسی نمودند. آنها با در نظر گرفتن سرعت های مختلف برای قطار، مقدار انرژی تولید شده را محاسبه کردند. دیویدسون و مو [10] در مقاله مروری، گزارش کاملی از پیشرفت های اخیر در سال های ۲۰۰۸ تا ۲۰۱۳ را در زمینه برداشت انرژی برای تأمین انرژی سیستم های پایش سلامت ارائه نمودند.

از مرور تحقیقات پیشین مشخص می شود که تاکنون تحقیقی در زمینه تأثیر نامعینی پارامترهای مختلف خودرو مانند جرم، میرایی، سفتی سیستم تعلیق، ابعاد و سرعت خودروی عبوری از روی پل با ناهمواری های سطح جاده ای مختلف بر روی مقدار توان تولید شده در اثر ارتعاش پل به طور هم زمان صورت نپذیرفته است؛ بنابراین در این مقاله با ارائه مدل واقع بینانه تر یعنی در نظر گرفتن تمام نامعینی های خودروی عبوری، به بررسی آماری دقیقی بر روی مقدار توان تولید شده پرداخته شده است. به علاوه در این بررسی، تأثیر نامعینی در نوع و یا کلاس خودرو نیز مورد مطالعه قرار گرفته است. بدین منظور سه کلاس مختلف سبک، تیمه سنگین و سنگین به صورت پارامترهای اتفافی از خودروهای عبوری در نظر گرفته شده است. برای نیل به اهداف بالا، پل به صورت تیر دو سر مفصل اوپلر-برنولی مدل و به کمک روش المان محدود، گسسته سازی شده است. وسیله نقلیه نیز به صورت مدل نیمه خودروی چهار درجه آزادی در نظر گرفته شده است و از تعریف استاندارد ISO [11] برای شبیه سازی ناهمواری سطح جاده استفاده شده است. در انتها مقادیر میانگین، واریانس و حد بالا و پایین خیز، سرعت، شتاب و ولتاژ مبدل پیزوالکتریک بر اثر عبور

$$C_{V21} = \begin{bmatrix} -C_{s1} & I_B C_{s1} \\ -C_{s2} & -I_F C_{s2} \end{bmatrix}$$

$$C_{V22} = \begin{bmatrix} C_{s1} + C_{t1} & 0 \\ 0 & C_{s2} + C_{t2} \end{bmatrix}$$

$$K_{V11} = \begin{bmatrix} K_{s1} + K_{s2} & I_F K_{s2} - I_B K_{s1} \\ I_F K_{s2} - I_B K_{s1} & I_B^2 K_{s1} + I_F^2 K_{s2} \end{bmatrix}$$

$$K_{V12} = \begin{bmatrix} -K_{s1} & -K_{s2} \\ I_B K_{s1} & -I_F K_{s2} \end{bmatrix}$$

$$K_{V21} = \begin{bmatrix} -K_{s1} & I_B K_{s1} \\ -K_{s2} & -I_F K_{s2} \end{bmatrix}$$

$$K_{V22} = \begin{bmatrix} K_{s1} + K_{t1} & 0 \\ 0 & K_{s2} + K_{t2} \end{bmatrix}$$

$$C_t = \begin{bmatrix} C_{t1} & 0 \\ 0 & C_{t2} \end{bmatrix}, K_t = \begin{bmatrix} K_{t1} & 0 \\ 0 & K_{t2} \end{bmatrix}$$

$$P(t) = \begin{bmatrix} (m_1 + a_2 m_v) g \\ (m_2 + a_1 m_v) g \end{bmatrix} - \begin{bmatrix} K_{t1} (y_1 - w(x_1(t), t) - r(x_1(t))) \\ K_{t2} (y_2 - w(x_2(t), t) - r(x_2(t))) \end{bmatrix}$$

$$+ C_{t1} (\dot{y}_1 + \dot{w}(x_1(t), t) + w'(x_1(t), t) \dot{x}_1(t) - r'(x_1(t)) \dot{x}_1(t))$$

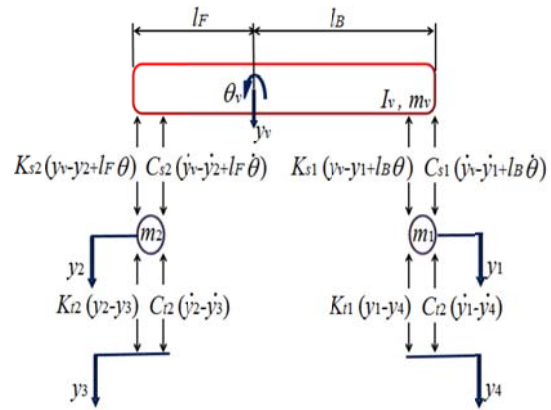
$$+ C_{t2} (\dot{y}_2 + \dot{w}(x_2(t), t) + w'(x_2(t), t) \dot{x}_2(t) - r'(x_2(t)) \dot{x}_2(t))$$

$$Y = \begin{bmatrix} y_v \\ \theta_v \\ y_1 \\ y_2 \end{bmatrix}$$

ناهمواری سطح جاده. براساس معیارهای ISO، ناهمواری سطح جاده در حوزه زمان را می توان با استفاده از رابطه (۲) شبیه سازی کرد:

$$r(x) = \sum_{k=1}^N \left(4S_d(f_0) \left(\frac{2\pi k}{L_c f_0} \right)^{-2} \frac{2\pi}{L_c} \right)^{\frac{1}{2}} \cos \left(\frac{2\pi k}{L_c} x + \theta_k \right) \quad (2)$$

در معادله اخیر، L_c دو برابر طول پل و f_0 فرکانس ناپیوستگی معادل با $1/2\pi$ cycle/m است. θ_k عددی تصادفی بین 0 و π می باشد که دارای توزیع یکنواخت است. $S_d(f_0)$ ضریب ناهمواری با واحد m^3 / cycle است. طبقه بندی های سطح جاده براساس



شکل ۲. دیاگرام آزاد سیستم پل - وسیله نقلیه

چهار درجه آزادی این وسیله نقلیه شامل موارد حرکت عمودی y_1 جرم فنربندی نشده m_1 ، حرکت عمودی y_2 جرم فنربندی نشده m_2 ، حرکت عمودی y_v جرم فنربندی شده m_v (حرکت عمودی) و حرکت زاویه ای θ_v جرم فنربندی شده (حرکت کله زنی) می باشد. این سیستم ارتعاشی تابع تحریک پایه است که توسط جابه جایی های y_3 و y_4 تأمین شده است. همه جابه جایی ها نسبت به وضعیت استاتیکی خود سنجیده می شوند و تغییر زاویه θ_v کوچک فرض می شود. به کمک قانون دوم نیوتن معادله حرکت خودرو به صورت رابطه (۱) به دست می آید [12]:

$$\begin{bmatrix} M_{V1} & 0 \\ 0 & M_{V2} \end{bmatrix} \ddot{Y} + \begin{bmatrix} C_{V11} & C_{V12} \\ C_{V21} & C_{V22} \end{bmatrix} \dot{Y} + \begin{bmatrix} K_{V11} & K_{V12} \\ K_{V21} & K_{V22} \end{bmatrix} Y = \begin{bmatrix} 0 \\ P(t) \end{bmatrix} \quad (1)$$

که پارامترهای رابطه اخیر به صورت زیر تعریف می شوند:

$$M_{V1} = \begin{bmatrix} m_v & 0 \\ 0 & I_v \end{bmatrix}, M_{V2} = \begin{bmatrix} m_1 & 0 \\ 0 & m_2 \end{bmatrix}$$

$$C_{V11} = \begin{bmatrix} C_{s1} + C_{s2} & I_F C_{s2} - I_B C_{s1} \\ I_F C_{s2} - I_B C_{s1} & I_B^2 C_{s1} + I_F^2 C_{s2} \end{bmatrix}$$

$$C_{V12} = \begin{bmatrix} -C_{s1} & -C_{s2} \\ I_B C_{s1} & -I_F C_{s2} \end{bmatrix}$$

$$H_i = \begin{pmatrix} 2\left(\frac{x_j(t)-(i-1)l}{l}\right)^3 - 3\left(\frac{x_j(t)-(i-1)l}{l}\right)^2 + 1 \\ \frac{(x_j(t)-(i-1)l)^3}{l^2} - 2\frac{(x_j(t)-(i-1)l)^2}{l} + (x_j(t)-(i-1)l) \\ -2\left(\frac{x_j(t)-(i-1)l}{l}\right)^3 + 3\left(\frac{x_j(t)-(i-1)l}{l}\right)^2 \\ \frac{(x_j(t)-(i-1)l)^3}{l^2} - \frac{(x_j(t)-(i-1)l)^2}{l} \end{pmatrix} \quad (4)$$

که $x_j(t)$ موقعیت ژامین نیرو روی i امین المان در زمان t و l طول المان است که از رابطه $(i-1) < x_j(t) < i$ تبعیت می نماید. ماتریس موقعیت نیز به صورت رابطه (5) بیان می شود:

$$H_b = \begin{pmatrix} 0 & \dots & 0 & \dots & H_1 & \dots & 0 \\ 0 & \dots & H_2 & \dots & 0 & \dots & 0 \end{pmatrix}_{N_p \times n} \quad (5)$$

که N_p تعداد نیروهای روی سازه و n تعداد درجات آزادی سیستم است. این ماتریس با انعطاف پذیری که دارد می تواند خصوصیات روی المان را به گره ها انتقال دهد. لازم به توضیح است که H_1 و H_2 از رابطه (4) استخراج می گردند. هم چنین مشتق ماتریس موقعیت نیز به صورت رابطه (6) در نظر گرفته می شود:

$$H'_b = \begin{pmatrix} 0 & \dots & 0 & \dots & \dots & \dots \\ 0 & \dots & \left. \frac{\partial H_2(x)}{\partial x} \right|_{x=\hat{x}_2(t)} & \dots & \hat{x}_2(t) & \dots \\ \left. \frac{\partial H_1(x)}{\partial x} \right|_{x=\hat{x}_1(t)} & \dots & \hat{x}_1(t) & \dots & 0 & \dots \\ \dots & \dots & 0 & \dots & 0 & \dots \end{pmatrix}_{N_p \times n} \quad (6)$$

سازه پل به صورت تیر اوپلر-برنولی با تکیه گاه های ساده مدل و به m المان گسسته سازی می شود. ماتریس های جرم و سفتی المان های تیر با استفاده از توابع شکل درون یاب هرمیتی قابل استخراج هستند. در نتیجه برای هر المان داریم [14]:

استاندارد ISO بر پایه مقادیر ضرایب ناهمواری است. پنج کلاس سطح جاده که نمایانگر کیفیت های متنوع سطح جاده اند و عبارتند از: خیلی خوب A، خوب B، متوسط C، بد D و خیلی بد E که مقادیر عددی ضریب ناهمواری متناظر با هر کدام از کلاس های ذکر شده در جدول (1) ارائه شده است [13]:

جدول 1 طبقه بندی ناهمواری سطح جاده

نوع	A	B	C	D	E
$S_d(f_0)$ (cm^3/cycle)	6	16	64	256	1024

در پژوهش حاضر مقدار متناظر $S_d(f_0)$ مربوط به سطح جاده صاف، صفر فرض شده است.

استخراج معادله حرکت پل. برای المان خمشی، یک ماتریس تابع شکل مکعبی به صورت رابطه زیر در نظر گرفته می شود [14]:

$$H = \begin{pmatrix} f_1 \\ f_2 \\ f_3 \\ f_4 \end{pmatrix} = \begin{pmatrix} 2\frac{x^3}{l^3} - 3\frac{x^2}{l^2} + 1 \\ \frac{x^3}{l^2} - 2\frac{x^2}{l} + x \\ -2\frac{x^3}{l^3} + 3\frac{x^2}{l^2} \\ \frac{x^3}{l^2} - \frac{x^2}{l} \end{pmatrix} \quad (3)$$

این توابع شکل نشان دهنده تغییرات v در راستای طول المان به علت مقادیر واحد جابه جایی های گره ای است. این توابع شکل که از روش درون یابی به دست آمده است، به «توابع شکل مکعبی درون یاب هرمیتی» معروفند.

می توان تابع هرمیتی را با توجه به رابطه (3) به صورت رابطه (4) نوشت [15]:

نیرویی است که روی سیستم اثر می‌کند. این ماتریس‌ها از روابط (۱۱-۱۴) قابل محاسبه‌اند:

$$M(t) = \begin{bmatrix} M_b & 0 & H_b M_{V2} \\ 0 & M_{V1} & 0 \\ 0 & 0 & M_{V2} \end{bmatrix} \quad (11)$$

$$C(t) = \begin{bmatrix} C_b & H_b C_{V21} & H_b (C_{V22} - C_t) \\ 0 & C_{V11} & C_{V12} \\ C_t H_b^T & C_{V21} & C_{V22} \end{bmatrix} \quad (12)$$

$$K(t) = \begin{bmatrix} K_b & H_b K_{V21} & H_b (K_{V22} - C_t) \\ 0 & K_{V11} & K_{V12} \\ K_t H_b^T + C_t H_b^T & K_{V21} & K_{V22} \end{bmatrix} \quad (13)$$

$$F(t) = \begin{bmatrix} H_b P_0 \\ 0 \\ 0 \\ C_{t1} r(\hat{x}_1(t)) \dot{\hat{x}}_1(t) + K_{t1} r(\hat{x}_1(t)) \\ C_{t2} r(\hat{x}_2(t)) \dot{\hat{x}}_2(t) + K_{t2} r(\hat{x}_2(t)) \end{bmatrix} \quad (14)$$

Z ، \dot{Z} و \ddot{Z} به ترتیب بردارهای جابه‌جایی، سرعت و شتاب سیستم ارتعاشی پل-وسیله نقلیه‌اند که بردار جابه‌جایی به صورت رابطه (۱۵) تعریف می‌شود:

$$Z = \begin{bmatrix} R \\ Y \end{bmatrix} \quad (15)$$

استخراج معادله مبدل پیزوالکتریک

همان‌طور که در شکل (۳) نشان داده شده است تیر یک سرگردار با دو لایه پیزوالکتریک، که متداول‌ترین وسیله برداشت‌کننده انرژی از ارتعاشات می‌باشد

$$K_t = \frac{2EI}{l^3} \begin{bmatrix} 6 & 3l & -6 & 3l \\ 3l & 2l^2 & -3l & l^2 \\ -6 & -3l & 6 & -3l \\ 3l & l^2 & -3l & 2l^2 \end{bmatrix} \quad (7)$$

$$M_t = \frac{\rho l A}{420} \begin{bmatrix} 156 & 22l & 54 & -13l \\ 22l & 4l^2 & 13l & -3l^2 \\ 54 & 13l & 156 & -22l \\ -13l & -3l^2 & -22l & 4l^2 \end{bmatrix} \quad (8)$$

با ادغام ماتریس‌های مربوط به هر المان در یک ماتریس کلی، ماتریس جرم و سفتی برای کل سازه به دست می‌آید. با در نظر گرفتن میرایی ریلی برای سازه پل و اعمال شرایط مرزی، معادله ارتعاشی کل تیر را می‌توان به صورت رابطه (۹) نوشت [12]:

$$M_b \ddot{R} + C_b \dot{R} + K_b R = H_b P \quad (9)$$

که M_b ، C_b و K_b به ترتیب ماتریس‌های جرم، میرایی و سفتی سازه پل، و R ، \dot{R} و \ddot{R} به ترتیب بردارهای جابه‌جایی، سرعت و شتاب گره‌های سازه پل هستند. عبارت $H_b P$ معادل بردار بار روی گره، ناشی از نیروی برهم‌کنشی پل-وسیله نقلیه است.

استخراج معادله حرکت پل-وسیله نقلیه. با ترکیب معادلات حرکت پل و وسیله نقلیه می‌توان معادله حرکت سیستم پل-وسیله نقلیه را به دست آورد. این معادله ارتعاشی را می‌توان به صورت رابطه (۱۰) نوشت:

$$M(t) \ddot{Z} + C(t) \dot{Z} + K(t) Z = F(t) \quad (10)$$

که $M(t)$ ، $C(t)$ و $K(t)$ ماتریس‌های متغیر با زمان سیستم ارتعاشی پل-وسیله نقلیه‌اند و $F(t)$ بردار

ممان خمشی داخلی تیر است که می توان به صورت رابطه (۱۸) بیان کرد:

$$M(x, t) = b \left(\int_{-h_p/2}^{h_s/2} T_1^p z dz + \int_{h_s/2}^{h_p+h_s/2} T_1^s z dz + \int_{h_p+h_s/2}^{h_s/2} T_1^p z dz \right) \quad (18)$$

که در آن b عرض تیر، h_p و h_s به ترتیب ضخامت لایه پیزوالکتریک و تیر است. هم چنین T_1^p تنش محوری در لایه پیزوالکتریک و T_1^s تنش محوری در تیر می باشد. با جاگذاری روابط تنش و در نظر گرفتن اتصال موازی لایه ها و انجام برخی ساده سازی ها، رابطه (۱۸) به رابطه (۱۹) تبدیل می شود:

$$M(x, t) = -YI \frac{\partial^2 w_{rel}(x, t)}{\partial x^2} + \vartheta v(t) (H(x) - H(x-L)) \quad (19)$$

در رابطه (۱۹) ϑ ترم کوپلینگ الکترومکانیکی و YI سفتی خمشی مقطع تیر کامپوزیتی است که از معادلات (۲۰ و ۲۱) به دست می آیند [16]:

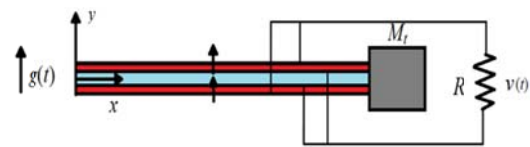
$$\vartheta = \frac{Y_p d_{31} b}{h_p} \left[\left(h_p + \frac{h_s}{2} \right)^2 - \frac{h_s^2}{4} \right] \quad (20)$$

$$YI = \frac{2b}{3} \left[Y_s \frac{h_s^3}{8} + Y_p \left(\left(h_p + \frac{h_s}{2} \right)^2 - \frac{h_s^3}{8} \right) \right] \quad (21)$$

در معادلات اخیر Y_p ، d_{31} و Y_s به ترتیب ثابت پیزوالکتریک، مدول الاستیسیته لایه پیزوالکتریک و مدول الاستیسیته تیر می باشند. در نهایت با جاگذاری رابطه (۱۹) در رابطه (۱۷) معادله حرکت مکانیکی با کوپلینگ الکتریکی به صورت زیر به دست می آید:

$$YI \frac{\partial^4 w_{rel}(x, t)}{\partial x^4} + c_s I \frac{\partial^5 w_{rel}(x, t)}{\partial x^4 \partial t} + c_a \frac{\partial w_{rel}(x, t)}{\partial t} + m \frac{\partial^2 w_{rel}(x, t)}{\partial t^2} - \vartheta v(t) \left[\frac{d\delta(x)}{dx} - \frac{d\delta(x-L)}{dx} \right] = -[m + M_1 \delta(x-L)] \frac{\partial^2 w_b(x, t)}{\partial t^2} \quad (22)$$

به عنوان استحصال کننده انرژی در نظر گرفته شده است. تیر مذکور از طریق الکترودهای کاملاً رسانا و با ضخامت ناچیز به یک مدار ساده متصل شده که فقط شامل یک مقاومت الکتریکی به عنوان مصرف کننده توان است. در این روش اتصال پایه تیر به پل مورد نظر، باعث ارتعاش تیر می شود و کرنش دینامیکی ایجاد شده در لایه های پیزوالکتریک منجر به تولید ولتاژ الکتریکی می گردد. ولتاژ تولیدی به وسیله الکترودهایی که سطح لایه پیزوالکتریک را می پوشانند، جمع آوری و ذخیره می گردد.



شکل ۳ تیر با دو لایه پیزوالکتریک

برای استخراج معادلات تیر مورد نظر، حرکت عرضی تیر را می توان به صورت رابطه (۱۶) در نظر گرفت:

$$w(x, t) = w_{rel}(x, t) + w_b(x, t) \quad (16)$$

که در آن $w_{rel}(x, t)$ و $w_b(x, t)$ به ترتیب جابه جایی پایه تیر و جابه جایی عرضی تیر نسبت به انتهای گیردار است. در این مقاله با در نظر گرفتن مدل تیر اویلر-برنولی معادله حرکت تیر تحت تحریک پایه به صورت معادله (۱۷) بیان می شود:

$$-\frac{\partial^2 M(x, t)}{\partial x^2} + c_s I \frac{\partial^5 w_{rel}(x, t)}{\partial x^4 \partial t} + c_a \frac{\partial w_{rel}(x, t)}{\partial t} + m \frac{\partial^2 w_{rel}(x, t)}{\partial t^2} = -[m + M_1 \delta(x-L)] \frac{\partial^2 w_b(x, t)}{\partial t^2} \quad (17)$$

که در آن m جرم واحد طول تیر، c_a ضریب میرایی خارجی یا میرایی ویسکوز، $c_s I$ ضریب میرایی سازه ای معادل برای سطح مقطع تیر کامپوزیتی و $M(x, t)$

در رابطه بالا $\phi_r(x)$ تابع مد و $\eta_r(t)$ پاسخ زمانی است. تابع مد r ام برای تیری با جرمی در انتهای آن برابر است با:

$$\phi_r(x) = C_r \left[\cos\left(\frac{\lambda_r}{L}x\right) - \cosh\left(\frac{\lambda_r}{L}x\right) + \sigma_r \left(\sin\left(\frac{\lambda_r}{L}x\right) - \sinh\left(\frac{\lambda_r}{L}x\right) \right) \right] \quad (28)$$

در رابطه اخیر،

$$\sigma_r = \frac{\sin\lambda_r - \sinh\lambda_r + \lambda_r \frac{M_t}{mL} (\cos\lambda_r - \cosh\lambda_r)}{\cos\lambda_r + \cosh\lambda_r - \lambda_r \frac{M_t}{mL} (\sin\lambda_r - \sinh\lambda_r)} \quad (29)$$

و λ_r پارمتر بی بعد فرکانس طبیعی است که از معادله زیر به دست می آید:

$$1 + \cos(\lambda_r) \cosh(\lambda_r) + \lambda_r \frac{M_t}{mL} (\cos\lambda_r \sinh\lambda_r - \sin\lambda_r \cosh\lambda_r) - \frac{\lambda_r^3 I_t}{mL^3} (\cosh\lambda_r \sin\lambda_r + \sinh\lambda_r \cos\lambda_r) + \frac{\lambda_r^4 M_t I_t}{m^2 L^4} (1 - \cos\lambda_r \cosh\lambda_r) = 0 \quad (30)$$

برای به دست آوردن C_r در رابطه (28) از خاصیت تعامد به صورت زیر استفاده می گردد:

$$\int_0^L m \phi_s(x) \phi_r(x) dx + M_t \phi_s(L) \phi_r(L) + \left[\frac{d\phi_s(x)}{dx} I_t \frac{d\phi_r(x)}{dx} \right]_{x=L} = \delta_{rs}$$

$$\int_0^L Y I \phi_s(x) \frac{d^4 \phi_r(x)}{dx^4} dx - \left[\phi_s(x) Y I \frac{d^3 \phi_r(x)}{dx^3} \right]_{x=L} + \left[\frac{d\phi_s(x)}{dx} Y I \frac{d^2 \phi_r(x)}{dx^2} \right]_{x=L} = \omega_r^2 \delta_{rs} \quad (31)$$

برای به دست آوردن معادله مدار الکتریکی با کوپلینگ مکانیکی، از روابط پیزوالکتریک به صورت رابطه (23) استفاده می شود.

$$D_3 = d_{31} T_1 + \epsilon_{33}^T E_3 \quad (23)$$

در رابطه بالا D_3 جابه جایی الکتریکی، ϵ_{33}^T ظرفیت الکتریکی در تنش ثابت و E_3 میدان الکتریکی است. زیر نویس های 1 و 3 به ترتیب منطبق بر محورهای x و y است. با جایگذاری $E_3 = -\frac{V}{h_p}$ و نیز $\epsilon_{33}^s = \epsilon_{33}^T - d_{31}^2 Y_p$ به صورت رابطه (24) باز نویسی می شود.

$$D_3(x, t) = d_{31} Y_p s_1(x, t) - \epsilon_{33}^s \frac{v(t)}{h_p} \quad (24)$$

با در نظر گرفتن کرنش خمشی متوسط لایه پیزوالکتریک به صورت رابطه (25) و جاگذاری آن در رابطه (24) و انتگرال گیری از آن، بار الکتریکی به دست می آید.

$$s_1(x, t) = -\left(\frac{h_p + h_c}{2}\right) \frac{\partial^2 w_{rel}(x, t)}{\partial t^2} \quad (25)$$

در نهایت پس از به دست آوردن بار الکتریکی، مقدار ولتاژ برابر است با:

$$v(t) = R \frac{dq(t)}{dt} = -R d_{31} Y_p b \left(\frac{h_p + h_c}{2}\right) \int_{x=0}^L \frac{\partial^3 w_{rel}(x, t)}{\partial x^2 \partial t} dx - R \frac{\epsilon_{33}^s b L}{h_p} \frac{dv(t)}{dt} \quad (26)$$

برای حل معادلات استخراج شده از روش جمع زدن مودها بر پایه جداسازی متغیرها به صورت رابطه (27) استفاده می شود:

$$w_{rel}(x, t) = \sum_{r=1}^{\infty} \phi_r(x) \eta_r(t) \quad (27)$$

$$P(t) = \frac{v^2(t)}{R} \quad (37)$$

که می‌توان میانگین توان تولیدی را از رابطه بالا محاسبه نمود.

بررسی آماری مقدار توان تولیدی از مبدل پیزوالکتریک متصل به پل

برآورد به وسیله فاصله‌های اطمینان. فاصله اطمینان عبارت است از برآورد کران‌های خطا برای ایجاد فاصله‌ای از مقادیری که انتظار می‌رود شامل مقدار واقعی پارامتر باشد [17]. برای این منظور فرض می‌شود X_1, X_2, \dots, X_n نمونه‌ای تصادفی و θ یک پارامتر نامعلوم جامعه باشد. هر فاصله اطمینان برای θ ، فاصله‌ای به صورت (L, U) است که از روی مشاهدات نمونه‌ای X_1, X_2, \dots, X_n محاسبه می‌شود، به طوری که قبل از انجام نمونه‌گیری، این فاصله شامل مقدار واقعی نامعلوم θ با احتمال زیاد و مشخصی است. این احتمال که با $\langle\langle 1-\alpha \rangle\rangle$ نشان داده می‌شود، معمولاً 0.95 ، 0.99 یا 0.999 در نظر گرفته می‌شود؛ به عبارت دیگر فرض می‌شود که $\langle\langle 1-\alpha \rangle\rangle$ مشخص باشد و (L, U) توابعی از X_1, X_2, \dots, X_n باشند، به طوری که:

$$P[L < \theta < U] = 1 - \alpha \quad (38)$$

آن‌گاه فاصله (L, U) یک فاصله اطمینان $100(1-\alpha)\%$ برای پارامتر است، و $(1-\alpha)$ سطح اطمینان مربوط به فاصله نامیده می‌شود. برای روشن شدن این مفاهیم، فاصله اطمینانی برای میانگین μ جامعه، وقتی که حجم نمونه بزرگ است و انحراف معیار σ معلوم است، فرض می‌شود. در قسمت بعد σ نامعلوم فرض می‌شود که منجر به فرمول‌بندی واقع‌بینانه‌تری از مسئله می‌شود. حکم احتمالی درباره میانگین نمونه بر مبنای توزیع نرمال، پایه‌ای برای شرح

که در آن I_r ممان اینرسی جرم M_r حول سر آزاد تیر یکسرگیردار می‌باشد. δ_{rs} معرف تابع دلتای کرونگر است. هم‌چنین ω_r فرکانس طبیعی نامیرای سیستم است که از رابطه زیر محاسبه می‌شود:

$$\omega_r = \lambda_r^2 \sqrt{\frac{YI}{mL^4}} \quad (32)$$

با بسط پاسخ تیر براساس رابطه (27) و هم‌چنین استفاده از شرایط تعامد مودها، معادلات کوپل الکترومکانیکی به صورت روابط (34 و 33) استخراج می‌شوند:

$$\frac{d^2 \eta_r(t)}{dt^2} + 2\zeta_r \omega_r \frac{d\eta_r(t)}{dt} + \omega_r^2 \eta_r(t) + \theta_r v(t) = -\frac{d^2 g(t)}{dt^2} \left(m \int_0^L \phi_r(x) dx + M_r \phi_r(L) \right) \quad (33)$$

$$C_p^{eq} \frac{dv(t)}{dt} + \frac{v(t)}{R} = \sum_{r=1}^{\infty} \theta_r \frac{d\eta_r(t)}{dt} \quad (34)$$

در روابط اخیر ζ_r نسبت میرایی مودال، θ_r کوپلینگ الکترومکانیکی مودال و C_p^{eq} ظرفیت معادل الکتریکی داخلی لایه‌های پیزو الکتریک است که از معادلات زیر قابل محاسبه است:

$$\theta_r = -2e_{31} b \frac{(h_p + h_s)}{2} \frac{d\phi_r}{dx} \Big|_{x=L} \quad (35)$$

$$C_p^{eq} = 2\epsilon_{33}^s \frac{bL}{h_p} \quad (36)$$

که در آن ϵ_{33} ثابت دی الکتریک و $e_{31} = Y_p d_{31}$ است. حال با حل عددی معادلات (34 و 33) به‌ازای شتاب نقطه وسط پل (فرض می‌شود محل نصب مبدل پیزو در نقطه وسط پل در نظر گرفته شده است)، مقدار ولتاژ تولیدی به دست می‌آید. پس از استخراج ولتاژ، توان تولیدی از رابطه زیر به دست می‌آید:

$$\left(\bar{X} - Z_{\alpha/2} \frac{s}{\sqrt{n}}, \bar{X} + Z_{\alpha/2} \frac{s}{\sqrt{n}} \right) \quad (40)$$

که در آن S ، انحراف معیار نمونه است و در مورد نوع توزیع جامعه، هیچ فرضی غیر از منتهای بودن σ لازم نیست.

شبیه سازی سیستم پل - خودرو

در مقاله حاضر، با در نظر گرفتن نامعینی در خصوصیات مختلف خودروی عبوری از پل، پاسخهای سیستم ارتعاشی با استفاده از روش عددی نیومارک-بتا و روش مونت کارلو استخراج می شود و به تبع آن مقدار ولتاژ تولیدی از مبدل پیزوالکتریک، محاسبه می شود. برای این منظور، داده های متعددی مربوط به خودروهای مختلف، از بانک اطلاعاتی نرم افزار CARSIM [18] استخراج شده و خودروها برحسب متغیرهایشان به سه کلاس سبک، نیمه سنگین و سنگین طبقه بندی شده اند. این متغیرها عبارتند از: جرم های فنربندی شده m_v ، جرم های فنربندی نشده m_1 و m_2 ، گشتاور لختی I_v ، مقادیر سفتی K_s و K_1 و میرایی C_s و C_1 مربوط به سیستم تعلیق و تایرها، و مشخصات طولی خودرو a_1 ، a_2 و S . بازه تغییرات خصوصیات انتخابی خودروهای کلاس بندی شده را می توان در جدول (۲) ملاحظه نمود.

با در دست داشتن بازه های مقادیر جدول (۲)، ماتریس های $M(t)$ و $K(t)$ مربوط به رابطه (۱۰) را می توان به دست آورد. برای به دست آوردن ثابت های میرایی ریلی، فرض شده است که نسبت دمپینگ برای تمام مودها، $0/2$ و سه فرکانس غالب پل به ترتیب $f_1 = 1.03$ ، $f_2 = 4.75$ و $f_3 = 10.11$ هرگز می باشد که از طریق این ضرایب، میرایی ریلی مربوط به پل و به تبع آن ماتریس $C(t)$ نیز به دست می آید. با جاگذاری ماتریس های $M(t)$ ، $K(t)$ و $C(t)$ در رابطه (۱۰)، معادله حرکت سیستم ارتعاشی پل - وسیله نقلیه

و بسط فاصله های اطمینان فراهم می کند. بر طبق قضیه حد مرکزی، توزیع \bar{X} را می توان با تقریب خوبی برابر $N(\mu, \sigma/\sqrt{n})$ گرفت که در آن σ/\sqrt{n} عددی معلوم است. این توزیع تقریب خوبی برای نمونه گیری بزرگ از جامعه های غیرنرمال است، ولی وقتی که توزیع جامعه نرمال است، توزیع \bar{X} به طور دقیق به ازای تمام مقادیر n برقرار است. در نتیجه احکام احتمالی برای جامعه های نرمال به طور دقیق و برای جامعه های غیر نرمال به طور تقریبی، در حالی که نمونه بزرگ باشد، برقرار است. به طور کلی وقتی که n بزرگ و σ معلوم است، فاصله اطمینان $100(1-\alpha)\%$ برای μ از رابطه زیر حاصل می شود:

$$\left(\bar{X} - Z_{\alpha/2} \frac{\sigma}{\sqrt{n}}, \bar{X} + Z_{\alpha/2} \frac{\sigma}{\sqrt{n}} \right) \quad (39)$$

که اصطلاحاً $Z_{\alpha/2}$ نقطه $\alpha/2$ بالای توزیع نرمال استاندارد را نشان می دهد. یعنی مساحت سمت راست $Z_{\alpha/2}$ برابر با $\alpha/2$ است. مقادیر مذکور را می توان از جداول آماری پیوستی در منبع [17] به دست آورد.

فاصله اطمینان مبتنی بر نمونه بزرگ برای μ با σ نامعلوم. حال که مفاهیم اساسی مربوط به فاصله های اطمینان بیان گردید، به حالت واقع بینانه تری روی آورده می شود که در آن انحراف معیار جامعه نامعلوم است. اگر حجم نمونه بزرگ باشد، رابطه (۳۹) هم چنان صحیح است، ولی چون σ نامعلوم است، این فاصله را نمی توان از روی داده های نمونه محاسبه نمود و بنابراین به عنوان یک فاصله اطمینان قابل استفاده نمی باشد. در نتیجه چون n بزرگ است، جایگزینی σ به وسیله برآوردکننده آن، یعنی S ، تأثیر قابل ملاحظه ای در حکم احتمالی نخواهد داشت. به طور خلاصه وقتی که n بزرگ است و σ جامعه نامعلوم است، فاصله اطمینان $100(1-\alpha)\%$ برای μ عبارت است از:

برداشت‌کننده در نظر گرفته شده و نسبت میرایی برای تمام مودها، 0.01 فرض شده است.

جدول ۳ خصوصیات تیر برداشت‌کننده انرژی

پیزوالکتریک	تیر	پارامترها
۶۱	۶۱	L (mm)
۰/۵	۰/۹۴	h (mm)
۳۵	۳۵	b (mm)
۶۱	۷۰	Y (Gpa)
۷۷۵۰	۲۷۰۰	ρ (kg/m ³)
-	۰/۰۳۱۲	M _t (kg)
۱۳/۳	-	ϵ_{33}^s (nF/m)
-۱۰/۴	-	e_{31} (C/m ²)

در ادامه با به‌کارگیری روش مونت کارلو و با استفاده از روش‌های آماری که پیش از این توضیح داده شد، حد بالا و پایین برای جابه‌جایی، سرعت و شتاب نقطه محل نصب مبدل متناظر با عبور ۱۰۰ خودرو با خصوصیات اتفاقی در پنج کلاس مختلف سطح جاده خیلی بد، بد، متوسط، خوب و خیلی خوب به کمک کدنویسی در MATLAB به دست آورده می‌شود. برای این منظور فاصله اطمینان ۹۵٪ در نظر گرفته شده است. هم‌چنین با استفاده از نتایج شبیه‌سازی استخراج‌شده مذکور، مشخصات آماری ولتاژ تولیدشده توسط مبدل حاصل می‌گردد.

بررسی نتایج و بحث

در این قسمت نتایج شبیه‌سازی که در شکل‌های (۶-۴) نشان داده شده بر پایه این فرض بنا نهاده شده است که تمامی پارامترهای تأثیرگذار روی پاسخ دینامیکی سیستم ارتعاشی و به تبع آن روی ولتاژ تولیدشده، از جمله نوع خودروی عبوری، جرم، سرعت، ابعاد، میرایی و در نهایت سفتی خودرو به صورت اتفاقی انتخاب می‌شوند. نوع خودروی

استخراج می‌شود. برای حل این معادله از روش نیومارک-بتا استفاده می‌شود که در این روش $\beta = 0.25$ و $\gamma = 0.5$ فرض می‌شود. مشخصات پل نیز به قرار زیر فرض می‌شود:

$$\rho A = 5 \times 10^3 \frac{\text{Kg}}{\text{m}}, EI = 2.5 \times 10^{10} \text{ Nm}^2, l = 30 \text{ m}$$

جدول ۲ خصوصیات استخراج شده خودروها از بانک

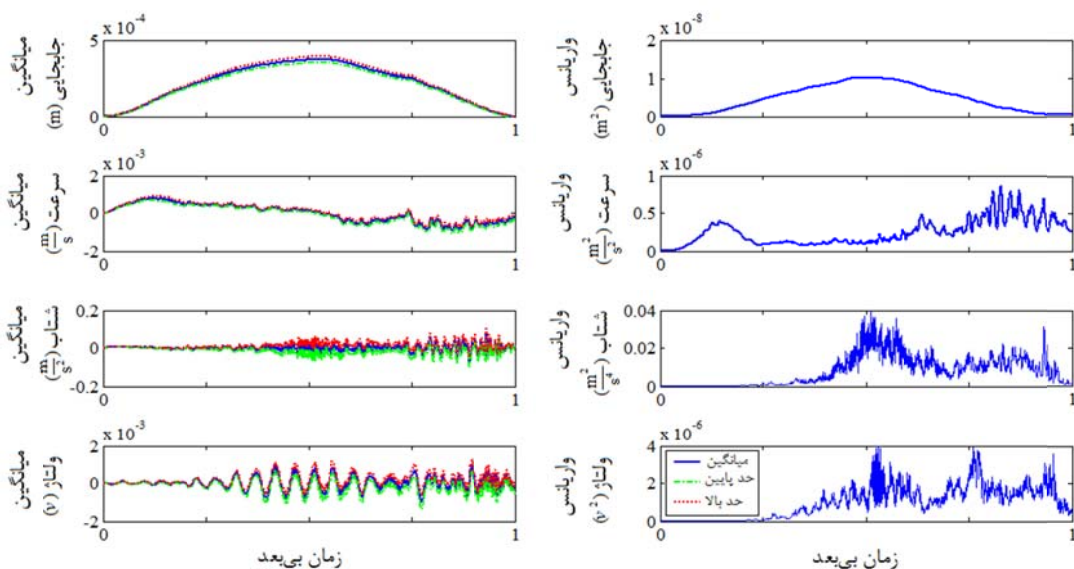
اطلاعاتی نرم‌افزار CARSIM

سنگین	نیمه سنگین	سبک	نوع خودرو خصوصیات	
			min	Max
۶۰۰۰	۲۴۰۰	۶۸۰	min	m _v (kg)
۱۸۰۰۰	۶۰۰۰	۲۴۰۰	Max	
۱۵۰	۹۰	۱۸	min	m ₁ , m ₂ (kg)
۱۵۰۰	۱۵۰	۹۰	Max	
۲۰۰۰	۱۸۱۶	۵۰۰	min	I _v (kgm ²)
۱۴۷۰۰۰	۶۰۰۰	۴۳۳۱	Max	
۳/۵	۲/۵	۱/۲۲۳	min	S (m)
۸	۴	۲/۶۶۷	Max	
۰/۴۵	۰/۳۵	۰/۴	min	a ₁
۰/۵۵	۰/۵۲	۰/۵۵	Max	
۲۳۰۰۰۰	۲۳۰۰۰۰	۷۰۰۰۰	min	K _{t1} & K _{t2} (N/m)
۴۶۰۰۰۰	۳۰۵۰۰۰	۳۰۵۰۰۰	Max	
۲۰۰۰۰۰	۳۴۰۰۰	۱۰۲۰۰	min	K _{s1} & K _{s2} (N/m)
۴۳۰۰۰۰۰	۲۰۰۰۰۰	۵۵۰۰۰	Max	
۷۵۰	۵۰۰	۲۵۰	min	C _{t1} & C _{t2} (Ns/m)
۴۵۰۰	۳۵۰۰	۳۰۰۰	Max	
۱۰۰۰۰	۳۰۰۰	۲۲۵۰	min	C _{s1} & C _{s2} (Ns/m)
۴۰۰۰۰	۱۰۰۰۰	۴۰۰۰	Max	

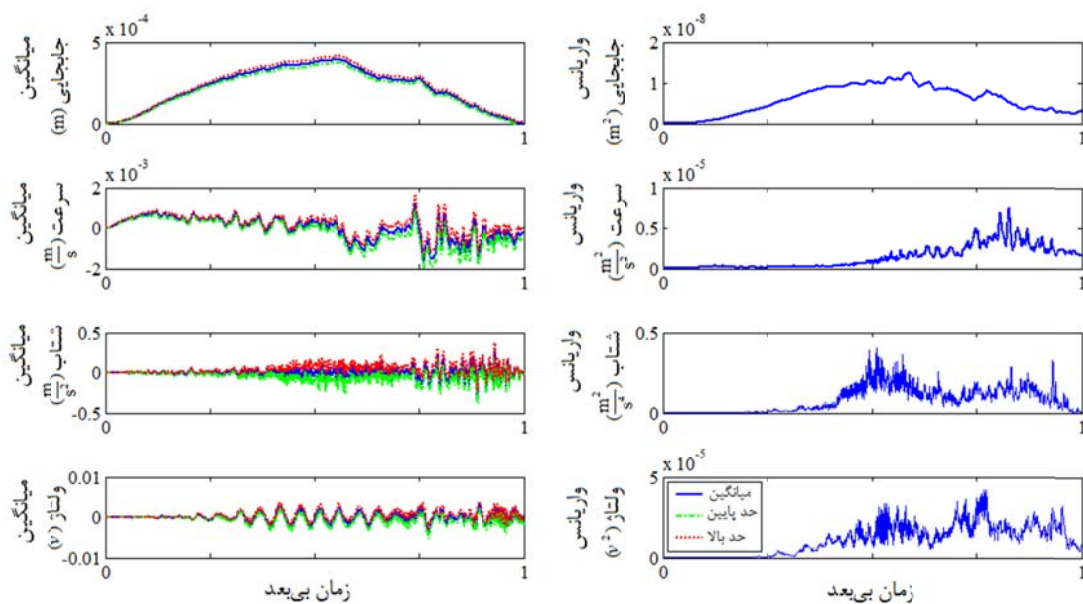
در هر مرحله شبیه‌سازی، پس از حل معادله سیستم پل-خودرو به کمک روش نیومارک-بتا، مقدار ارتعاش وسط پل به‌عنوان تحریک پایه تیر برداشت‌کننده انرژی در نظر گرفته می‌شود. با داشتن مقدار شتاب پایه تیر برداشت‌کننده انرژی و به‌ازای پارامترهایی که در جدول (۳) ملاحظه می‌شود، معادلات (۳۳ و ۳۴) حل می‌گردد و مقدار ولتاژ خروجی به دست می‌آید. در این حل، سه مود اول تیر

مربوط به زمان نرمال شده می باشد که در این حالت زمان ورود تا خروج هر خودرو برابر ۱ واحد در نظر گرفته می شود. لازم به توضیح است که نتایج نشان داده شده در شکل های مذکور، نمونه ای از نتایج کلی شبیه سازی برای کلیه سطوح جاده می باشد.

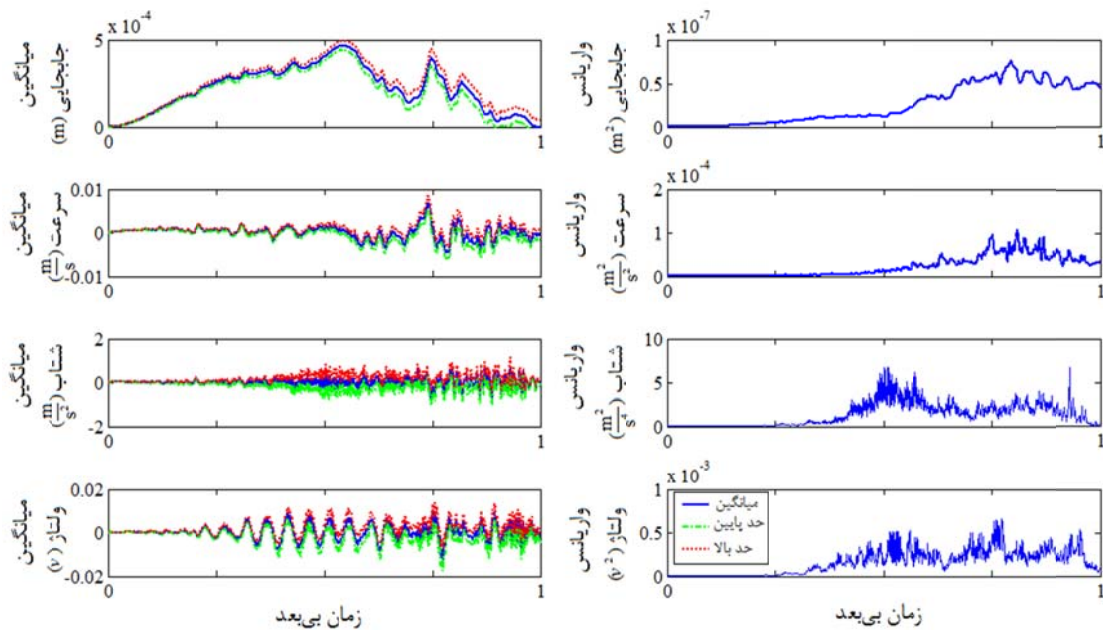
عبوری از روی پل به کمک تابع توزیع یکنواخت انتخاب می شود، بنابراین تمامی خودروها شانس برابری برای عبور از روی پل دارند. همچنین پارامترهای متغیر مربوط به خودروها نیز با توجه به بازه تغییرات درج شده در جدول (۲) به کمک تابع توزیع نرمال اختیار می شوند. محور افقی در شکل های مذکور



شکل ۴ نتایج آماری مرتبط با پاسخ های دینامیکی نقطه وسط پل و ولتاژ تولیدی مربوط به جاده با سطح خیلی خوب



شکل ۵ نتایج آماری مرتبط با پاسخ های دینامیکی نقطه وسط پل و ولتاژ تولیدی مربوط به جاده با سطح متوسط



شکل ۶ نتایج آماری مرتبط با پاسخ‌های دینامیکی نقطه وسط پل و ولتاژ تولیدی مربوط به جاده با سطح خیلی بد

جدول ۴ مقادیر آماری میانگین توان تولیدشده برحسب نانوات به‌ازای کیفیت سطوح مختلف سطح جاده

فاصله	حد بالا	میانگین	حد پایین	نوع کیفیت سطح جاده
۰/۴۵	۱/۳۲	۱/۱۰	۰/۸۷	A
۱/۱۷	۳/۳۶	۲/۷۷	۲/۱۹	B
۴/۶۹	۱۴/۴۱	۱۲/۰۷	۹/۷۲	C
۱۸/۹۲	۵۵/۱۸	۴۵/۷۲	۳۶/۲۶	D
۷۳	۲۰۷/۵۰	۱۷۱	۱۳۴/۵۰	E

لازم به توضیح است نتایج به‌دست آمده در مرجع [8] نشان می‌دهد برای عبور یک خودرو بدون در نظر گرفتن نامعینی‌های موجود در آن، با افزایش ناهمواری‌ها میانگین توان تولیدی توسط مبدل پیزوالکتریک افزایش می‌یابد، ولی نتایج پژوهش اخیر نشان داد که با ارائه مدل واقع‌بینانه‌تر، یعنی در نظر

با دقت در شکل‌های (۶-۴) می‌توان نتیجه گرفت که افزایش ناهمواری جاده سبب افزایش شتاب محل نصب مبدل پیزوالکتریک می‌شود. در اثر افزایش شتاب تحریک، مقدار میانگین ولتاژ تولیدشده نیز افزایش می‌یابد، ولی باتوجه به نمودارهای واریانس، با افزایش ناهمواری جاده، مقدار واریانس ولتاژ نیز افزایش پیدا می‌کند که این امر سبب می‌شود قابلیت اطمینان مقدار ولتاژ تولیدشده کاهش یابد. به‌علاوه نتایج مربوط به میانگین مقدار توان تولیدشده و حدود بالا و پایین متناظر در هر یک از ۵ نوع سطح جاده در جدول (۴) آورده شده است. همان‌طور که در این جدول مشاهده می‌شود، افزایش ناهمواری سطح جاده، سبب افزایش مقدار توان متوسط تولیدشده از برداشت‌کننده انرژی متصل به پل می‌شود و در عین حال باتوجه به حدود بالا و پایین، سبب کاهش قابلیت اطمینان توان خروجی می‌گردد.

نیومارک-بتا برای شبیه‌سازی پاسخ دینامیکی با کدنویسی در MATLAB به‌کار گرفته شده است و به‌طور هم‌زمان با وارد کردن شتاب نقطه میانی پل به‌عنوان تحریک پایه مبدل، مقدار ولتاژ تولیدی استخراج شده است. سپس پارامترهای آماری از قبیل میانگین و واریانس خیز، سرعت، شتاب و ولتاژ تولیدشده توسط مبدل استخراج گردیده است. از مهم‌ترین نتایج حاصل می‌توان به‌دست آوردن حد بالا و حد پایین برای مقادیر میانگین خیز، سرعت و شتاب و در نتیجه استخراج حد بالا و حد پایین برای توان تولیدشده توسط مبدل اشاره کرد. آگاهی از فاصله حدود این مقادیر و استخراج داده‌های مورد نظر از این نمودارها برای بررسی قابلیت اطمینان تأمین انرژی سیستم‌های سلامت‌سنجی پل از اهمیت فوق‌العاده‌ای برخوردار است. یکی دیگر از نتایج مهم این است که هر چند با افزایش ناهمواری سطح جاده مقدار توان تولیدی از مبدل افزایش می‌یابد ولی قابلیت اطمینان توان تولیدشده نیز کاهش پیدا می‌کند.

گرفتن تمامی نامعینی‌های خودروی عبوری، هرچند افزایش ناهمواری سطح جاده سبب افزایش مقدار میانگین توان تولیدشده از برداشت‌کننده انرژی متصل به پل می‌شود، ولی در عین حال با توجه به حدود بالا و پایین، قابلیت اطمینان توان تولیدی نیز کاهش می‌یابد.

نتیجه‌گیری

در این مقاله با در نظر گرفتن تمامی نامعینی‌های ممکن در سیستم دینامیکی پل-وسیله نقلیه و با استفاده از شبیه‌سازی مونت کارلو، مقادیر آماری توان تولیدشده توسط برداشت‌کننده انرژی متصل به نقطه وسط سازه پل محاسبه شده است. به‌همین منظور با استفاده از نرم‌افزار CARSIM، تعریف نامعینی‌های کاملی از وسایل نقلیه عبوری از پل طوری انجام گرفته که شرایط واقعی‌تری قابل شبیه‌سازی باشد. تمامی نامعینی‌ها با استفاده از تابع توزیع گاوسی و با مقادیر میانگین و واریانس استخراج شده از نرم‌افزار CARSIM تولیدشده است. با استفاده از مدل‌سازی المان محدود پل و معادلات اندرکنش پل-وسیله نقلیه، روش

مراجع

1. Nagayama, T., Jung, H.J., Spencer, B.F., Jang, S., Mechi-tov, K., Cho, S. and Y. Fujino, "International collaboration to develop a structural health monitoring system utilizing wireless smart sensor network and its deployment on a cable-stayed bridge", *5th World Conference on Structural Control and Monitoring*, pp. 1-10, (2010).
2. Park, J.W., Jung, H.J., Jo, H., Jang and Billie, F. and Spencer, J.r., "Feasibility study of wind generator for smart wireless sensor node in cable-stayed bridge", *SPIE Smart Structures and Materials+ Nondestructive Evaluation and Health Monitoring*, International Society for Optics and Photonics, 764747, (2010).
3. Farinholt, K.M., Miller, N., Sifuentes, W., MacDonald, J., Park, G., Farrar, C.R., "Energy harvesting and wireless energy transmission for embedded SHM sensor nodes", *Structural Health Monitoring*, Vol. 9, pp. 269-280, (2010).

4. Williams, C. B., Pavic, A., Crouch, R. S., and Woods, R. C., "Feasibility study of vibration-electric generator for bridge vibration sensors", Society for Experimental Mechanics, Inc, *16th International Modal Analysis Conference*, Vol. 2, pp. 1111-1117, (1998).
5. Erturk, A., "Piezoelectric energy harvesting for civil infrastructure system applications: Moving loads and surface strain fluctuations", *Journal of Intelligent Material Systems and Structures*, Vol. 22, pp. 1959-1973, (2011).
6. Kim, S.H., Ahn, J.H., Chung, H.M. and Hyung-Won Kang, "Analysis of piezoelectric effects on various loading conditions for energy harvesting in a bridge system", *Sensors and Actuators A: Physical*, Vol. 167, pp. 468-483, (2011).
7. Ali, S. F., Friswell, M. I., and Adhikari, S., "Analysis of energy harvesters for highway bridges", *Journal of Intelligent Material Systems and Structures*, Vol. 22, pp. 1929-1938, (2011).
8. Zhang, Ye, Steve CS Cai and Lu Deng. "Piezoelectric-based energy harvesting in bridge systems", *Journal of Intelligent Material Systems and Structures*, Vol. 25, pp. 1414-1428, (2013).
9. Cahill, P., Nuallain, N. A. N., Jackson, N., Mathewson, A., Karoumi, R. and Pakrashi, V., "Energy Harvesting from Train-Induced Response in Bridges", *Journal of Bridge Engineering*, Vol. 19, 04014034, (2014).
10. Davidson, J. and Mo, C., "Recent Advances in Energy Harvesting Technologies for Structural Health Monitoring Applications", *Smart Materials Research*, Vol. 2014, pp. 1-14, (2014).
11. ISO 8606:1995(E), Mechanical vibration – road surface profiles – reporting of measured data, (1995).
12. Law, S. S., Bu, J. Q., Zhu, X. Q., and Chan, S. L., "Vehicle axle loads identification using finite element method", *Engineering Structures*, Vol. 26, pp. 1143-1153, (2004).
13. Henchi, K., Fafard, M., Talbot, M., and Dhatt, G., "An efficient algorithm for dynamic analysis of bridges under moving vehicles using a coupled modal and physical components approach", *Journal of Sound Vibration*, Vol. 212, pp. 663–83, (1998).
14. W. Weaver, P. R. Johnstone, "*Structural Dynamics by Finite Elements*", Prentice-Hall, Inc., New Jersey, (1987).
15. Wu, S.Q. and Law., S.S. "Vehicle axle load identification on bridge deck with irregular road surface profile", *Engineering Structures*, Vol. 33, pp. 591–601, (2011).
16. Erturk, Alper and Daniel J. Inman, "*Piezoelectric energy harvesting*", Wiley, Chichester, UK, (2011).
17. Bhattacharyya, G.K. and Richard, A. "*Statistical Concepts and Methods*", Johnson John Wiley and Sons, New York, (1977).
18. CARSIM Software, Version 8.2, Mechanical Simulation Corporation, 755 Phoenix Drive, Ann Arbor MI, 48108, USA, (2013).

